

Evaluation of the Follicular Growth during Mouse Ovarian Culture in Medium Supplemented with Different Doses of Growth Differentiation Factor 9B

Mojde Pajokh¹, Mojde Salehnia^{2*}

1- M.Sc., Department of Anatomy, Faculty of Medical Sciences, Tarbiat Modares University, Tehran, Iran

2- Professor, Department of Anatomy, Faculty of Medical Sciences, Tarbiat Modares University, Tehran, Iran

*Corresponding Address: P.O.Code: 1411713116, Department of Anatomy, Faculty of Medical Sciences, Tarbiat Modares University, Tehran, Iran
Email: salehnim@modares.ac.ir

Received: 28/Jun/2013, Accepted: 03/Nov/2013

Abstract

Objective: Growth differentiation factor 9B (GDF9B) is an oocyte-derived growth factor. This protein is essential for the development of ovarian follicles and acts mainly by binding to its receptor on the surface of granulosa cells. The effect of GDF9B on the growth of follicles in various developmental stages, particularly primordial and primary follicles, is unknown. Thus the aim of this study is to investigate these effects after mouse whole ovarian culture.

Methods: Female NMRI mice (14 day-old) were sacrificed by cervical dislocation. Subsequently their collected ovaries were cultured in α-MEM basic medium (control group) and medium supplemented with different doses of recombinant GDF9B (10, 20, 40 ng/ml) for seven days in 5% CO₂ and 37°C. At the end of the culture period, serial sections of ovaries were prepared and stained with hematoxylin and eosin. The follicles were counted in the primordial, primary, preantral and antral stages and compared among the different groups.

Results: In GDF9B supplemented groups the percentage of antral follicles significantly increased whereas the percentage of preantral follicle decreased when compared with the control group. However there were no significant differences between the percentage of primordial and primary follicles in all supplemented GDF9B (10, 20, 40 ng/ml) groups and the control.

Conclusion: Overall, this study showed that GDF9B stimulated the growth of preantral follicles to the antral stage. However this factor did not have a remarkable effect on the growth of primordial and primary follicles.

Keywords: Growth differentiation factor 9B (GDF9B), Mouse, Ovarian organ culture

Modares Journal of Medical Sciences: *Pathobiology*, Vol 16, No 3, Autumn 2013, Pages: 43-51

ارزیابی رشد فولیکول‌های مراحل مختلف تکوینی طی کشت تخدمان موش نابلغ در حضور غلظت‌های مختلف عامل رشدی تمایزی 9B

*۱، مژده پازخ^۱، مژده صالح نیا^۲

۱- کارشناس ارشد، گروه علوم تشریح، دانشکده علوم پزشکی، دانشگاه تربیت مدرس، تهران، ایران

۲- استاد، گروه علوم تشریح، دانشکده علوم پزشکی، دانشگاه تربیت مدرس، تهران، ایران

*آدرس نویسنده مسئول: ایران، تهران، کدپستی: ۱۴۱۱۷۱۳۱۱۶، دانشگاه تربیت مدرس، دانشکده علوم پزشکی، گروه علوم تشریح

Email: salehnim@modares.ac.ir

پذیرش مقاله: ۹۲/۰۸/۱۳

دریافت مقاله: ۹۲/۰۴/۰۸

چکیده

هدف: عامل رشدی تمایزی 9B عامل رشد پرتوئینی مشتق از تخمک است که بیان آن در تکوین فولیکول‌های تخدمان ضروری است. این عامل به واسطه گیرنده خود که بر سطح سلول‌های گرانولوزا قرار دارد اثر خود را اعمال می‌کند. اثر عامل رشدی تمایزی 9B بر رشد فولیکول‌های مراحل مختلف تکوینی بهویژه فولیکول‌های بدبو و اوایله نامشخص است. هدف از این مطالعه بررسی اثر عامل رشدی تمایزی 9B بر رشد فولیکول‌های مراحل مختلف تکوینی طی کشت تخدمان موش نابلغ بود.

مواد و روش‌ها: از موش‌های ماده نژاد NMRI با گروه سنی ۱۴ روز استفاده شد. حیوانات به طریق جابه‌جایی مهره‌های گردنبی کشته شدند. تخدمان‌های به دست آمده از حیوانات تحت شرایط انکوباتور مرتبط CO_2 درصد و دمای ۳۷ درجه سانتی گراد به مدت ۷ روز کشت داده شدند. گروه‌های موردنظر شامل تخدمان‌های چهارده روزه کشت شده در محیط پایه و تخدمان‌های چهارده روزه کشت شده در محیط پایه غنی شده با غلظت‌های ۱۰، ۲۰ و ۴۰ نانوگرم بر میلی لیتر عامل رشدی تمایزی 9B بود. در پایان دوره کشت، از تخدمان‌های کشت شده برای شمارش فولیکول‌های مراحل مختلف تکوینی برش‌های باقی تهیه شد و پس از رنگ‌آمیزی به روش هماتوکسیلین و اثوزین تعداد فولیکول‌های بدبو، اوایله، پره آنترال و آنترال شمارش شد.

نتایج: نتایج حاصل از این مطالعه نشان داد که تخدمان‌های کشت شده در محیط‌های حاوی غلظت‌های مختلف عامل رشدی تمایزی 9B نسبت به گروه کشت شده در محیط پایه افزایش معنی داری در درصد فولیکول‌های بدبو و اوایله در تخدمان‌های کشت شده در محیط پایه و کشت شده در غلظت‌های ۱۰، ۲۰ و ۴۰ نانوگرم بر میلی لیتر عامل رشدی تمایزی 9B از نظر آماری تفاوت معنی داری نشان نداد.

نتیجه‌گیری: در مجموع تحقیق حاضر نشان داد که عامل رشدی تمایزی 9B منجر به تحریک رشد فولیکول‌های پره آنترال به آنترال می‌شود در حالی که بر رشد فولیکول‌های مراحل بدبو و اوایله تأثیر مشخصی ندارد.

کلیدوازگان: عامل رشدی تمایزی 9B، موش، کشت تخدمان

مجله علوم پزشکی مدرس: آسیب‌شناسی زیستی، دوره ۱۶، شماره ۳، پاییز ۱۳۹۲، صفحات: ۵۱-۴۳

مقدمه

تخدمان با مشکل مواجه می‌شود. برای رفع این مشکل قطعات کوچکی از قشر تخدمان در ابعاد یک میلی‌متر مکعب در کشت استفاده می‌شود. این روش برای مطالعه فعال‌سازی و رشد فولیکول‌های فعال شده در گاو، میمون و انسان به کار گرفته

تکوین فولیکول‌های تخدمانی با تشکیل فولیکول‌های بدبوی آغاز می‌شود. فرآیند تشکیل فولیکول‌های بدبوی و عوامل مؤثر بر آن به وسیله کشت تخدمان‌های به دست آمده از جنین بررسی می‌شود [۱]. در مطالعه گونه‌های بزرگ‌تر، کشت

تکوین فولیکولی و عامل رشدی تمایزی 9B

کمبود عوامل رشد از جمله GDF9 و GDF9B رخ می‌دهد. این دو عامل برای انتقال فولیکول‌ها از مرحله اولیه به ثانویه ضروری هستند [۶-۸]. کشت قطعات تخدمان انسان در حضور GDF9B نشان می‌دهد که این عامل رشد فولیکول‌های بدبوی را تحریک می‌کند [۹]. افزودن GDF9B به محیط کشت فولیکول‌های پره آنترال (Preantral Follicle) بزر، رشد فولیکول‌ها و تشکیل آنتروم (Antrum) را تحریک می‌کند. به علاوه، در حفظ ساختار فولیکول‌ها طی دوره کشت مؤثر است [۱۰]. در موش و خوک نیز اثر تحریکی GDF9B در مراحل انتهايی رشد فولیکول‌ها مشاهده شده است [۱۱، ۱۲].

با توجه به مطالعات انجام شده قبلی در خصوص اثر GDF9B بر رشد فولیکول‌های مراحل مختلف تکوینی در گونه‌های گوناگون و نتایج مختلف حاصل، به علت تنوع در مراحل فولیکول‌های مورد بررسی، شرایط کشت و نیز به کارگیری گونه‌های متفاوت در بررسی اثر این عامل، در مطالعه حاضر با کشت تخدمان موش در حضور این عامل با غلظت‌های مختلف، رشد فولیکول‌های مراحل بدبوی، اولیه و پره آنترال را در شرایط یکسان کشت پیش برده و اثر این عامل بررسی شد.

مواد و روش‌ها

تهیه بافت تخدمان

در این تحقیق از موش‌های سوری نابالغ نژاد NMRI (National Medical Research Institute) استفاده شد. موش‌های نابالغ ماده با سن ۲ هفته و ۳ هفته در شرایط ۱۲ ساعت تاریکی و ۱۲ ساعت روشنایی، دمای ۲۰-۴۰ درجه سانتی‌گراد و رطوبت ۵۰-۶۰ درصد نگهداری شدند. موش‌ها طبق اصول اخلاقی کار با حیوانات آزمایشگاهی مصوب دانشگاه تربیت مدرس به روش قطع نخاع گردند کشته شدند. با ایجاد شکاف طولی در ناحیه شکم تخدمان‌های آن‌ها از بدن خارج و در قطرات ۳۰۰ میکرولیتری محیط کشت α-MEM

می‌شود [۲]. مزیت کشت تخدمان نسبت به فولیکول‌های جدا شده، حفظ ساختمان فولیکول به شکل دست نخورده است. رفتار فولیکول‌ها در تخدمان کامل نسبت به فولیکول‌های جدا شده (Isolated follicles) متفاوت است. ارتباطات متقابل جمعیت‌های فولیکولی و انواع سلول‌ها در کشت تخدمان قابل ارزیابی است. با این حال نفوذ مواد غذایی و گازها اندازه تخدمان‌های قابل کشت را محدود می‌کند. برش تخدمان‌های بزرگ‌تر به قطعات کوچک‌تر می‌تواند این مشکل را برطرف سازد اگرچه ممکن است بافت طی برش دچار صدمه شود یا فولیکول‌های بزرگ‌تر از دست بروند [۳].

عامل رشدی تمایزی 9B (Growth Differentiation Factor 9B) Transforming) TGF- β (GDF9B: از اعضای خانواده Growth Factor beta (Growth Factor beta) است و در انسان، جوندگان و گوسفند GDF9B بیان آن به تخمک محدود می‌شود. در پستانداران محصول ژن وابسته به کروموزوم X است و در تخمک بیان می‌شود و به عنوان یک عامل پاراکرین (Paracrine) و اتوکرین (Autocrine) تکوین فولیکول‌ها را تحریک می‌نماید و به علاوه نقش مهمی در تنظیم میزان تخمک‌گذاری و کیفیت تخمک دارد. اهمیت GDF9B در مراحل اولیه تکوین فولیکول AMH وابسته به گونه است [۴]. عوامل موضعی از جمله GDF9 (Anti-Mulerian Hormone)، GDF9B و GDF9 نقش تنظیمی عمده‌ای در هر دو مرحله وابسته و غیر وابسته به گنادولتروپین (Gonadotropin) در فولیکول‌ها دارند. سرنوشت نهایی هر فولیکول به تعادل بین عوامل تحریکی و مهاری که عملکرد گنادولتروپین‌ها را تنظیم می‌کند وابسته است. GDF9B اغلب در تخمک فولیکول‌های در حال رشد یافت می‌شود؛ اگرچه mRNA آن در فولیکول‌های بدبوی بعضی گونه‌ها شناسایی شده است. در گاو و انسان آغاز بیان GDF9B در تخمک فولیکول‌های اولیه است [۵]. فولیکول‌های تخدمان پستانداران بزرگ از جمله انسان، گاو و گوسفند در محیط کشت قادر به عبور از مرحله بدبوی و آغاز رشد هستند اما در مرحله اولیه دچار توقف می‌شوند. این توقف احتمالاً به علت

برداشته شدند. بعد از مرحله ثبوت به ترتیب آب گیری با الکل، شفافسازی با گربلیل (Xylyl)، آغشتنگی با پارافین، قالب گیری و سپس برش گیری انجام شد. از هر نمونه تخدمان برش‌های سریال تهیه شد. ضخامت برش‌ها ۵ میکرومتر بود. برای جلوگیری از تکرار در شمارش فولیکول‌ها بین مقاطع انتخاب شده ۵ برش فاصله وجود داشت. سپس رنگ‌آمیزی هماتوکسیلین و ائوزین (Hematoxylin and Eosin) در گروه‌های مورد مطالعه (به صورت سه نمونه در هر گروه) انجام شد. فقط فولیکول‌هایی با هسته مشخص در تخدمک برای جلوگیری از شمارش مجدد فولیکول‌ها شمارش شدند. فولیکول‌ها با ریخت‌شناسی (Morphology) طبیعی دارای تخدمک یکدست و سالم و سلول‌های گرانولوزای Granulosa (Cells) منظم شمارش شدند. علاوه بر گروه‌های کشت شده، شمارش فولیکول‌های مراحل مختلف تکوینی در تخدمان‌های کشت نشده ۱۴ روزه (معادل روز صفر کشت) و ۲۱ روزه (معادل روز هفتم کشت) به عنوان گروه‌های کنترل انجام شد. فولیکول‌های بدبوی دارای یک تخدمک هستند که توسط یک لایه سلول‌های گرانولوزای سنگفرشی احاطه شده است. فولیکول‌های اولیه با یک لایه از سلول‌های گرانولوزای مکعبی مشخص می‌شوند. فولیکول‌های پره آنترال یا ثانویه بیشتر از یک لایه سلول گرانولوزا دارند و قادر آنتروم هستند. فولیکول‌های آنترال (Antral Follicles) دارای یک یا دو ناحیه از تجمع مایع فولیکولی هستند.

تجزیه و تحلیل اطلاعات

ارزیابی آماری داده‌های درصد فولیکول‌ها با استفاده از آزمون آماری آنالیز واریانس یک طرفه (One-way Analysis of Variance: ANOVA Post Hock) و آزمون تکمیلی SPSS نسخه ۱۷ استفاده شد. کلیه اطلاعات ارایه شده بر حسب میانگین \pm خطای استاندارد (Mean \pm SE) است. سطح معنی‌داری $P < 0.05$ در نظر گرفته شد.

(α -Minimal Essential Medium) حاوی ۱۰ درصد سرم جنین گاوی (Fetal Bovine Serum: FBS) قرار داده شدند. گروه‌های مورد مطالعه شامل تخدمان‌های ۱۴ روزه کشت شده طبق روش کشت که در قسمت بعدی توضیح داده می‌شود و ۱۴ روزه و ۲۱ روزه کشت نشده به عنوان کنترل بود.

کشت تخدمان

گروه‌هایی که در این مطالعه مورد بررسی قرار گرفتند شامل تخدمان‌های چهارده روزه کشت شده در محیط پایه و تخدمان‌های کشت شده در محیط پایه غنی شده با ۱۰ و ۴۰ نانوگرم بر میلی‌لیتر (r GDF9B) (recombinant GDF9B) بود. محیط کشت حاوی α -MEM تکمیل شده با ITS (Insuline-Transferin-Selenium) یک درصد، ۱۰۰ واحد بین‌المللی / میلی‌لیتر پنی‌سیلین (Penicillin)، ۵۰ واحد بین‌المللی / میلی‌لیتر استرپتومایسین (Streptomycin) (Ta حداکثر ۲ هفته برای استفاده در یخچال نگهداری شد. در هر کاربرد ۱۰۰ واحد بین‌المللی / میلی‌لیتر (r FSH) (recombinant Follicle Stimulating Hormone) و ۵ درصد r GDF9B در شرایط انکوباتور مرطوب با ۵ درصد CO_2 و ۳۷ درجه سانتی‌گراد نگهداری شدند. تخدمان‌ها به تعداد ۳ عدد در هر چاهک و سه تکرار در هر گروه (۹ تخدمان در هر گروه) در گروه‌های مذکور تحت شرایط انکوباتور مرطوب با ۵ درصد CO_2 و ۳۷ درجه سانتی‌گراد به مدت ۷ روز کشت داده شد. یک روز در میان، تخدمان‌ها از نظر وضعیت حیاتی، رشد و بلوغ زیر میکروسکوپ معکوس (Invert Microscope) بررسی و با برداشتن نیمی از محیط کشت (۲۰۰ میکرولیتر)، محیط کشت تازه جایگزین آن شد.

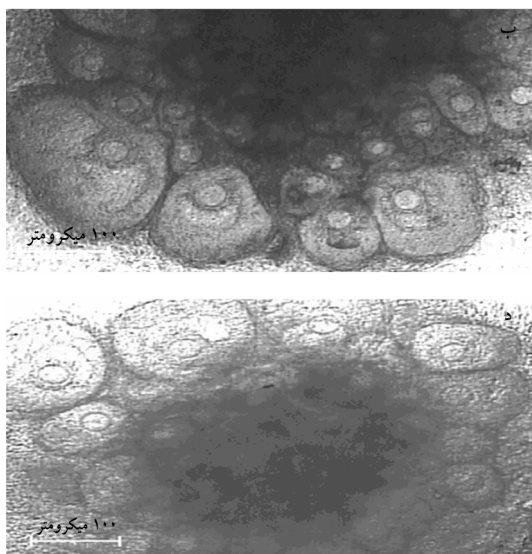
بررسی بافت‌شناسی با میکروسکوپ نوری

تخدمان‌ها در پایان دوره کشت از درون چاهک‌های کشت

تکوین فولیکولی و عامل رشدی تمايزی B9

در صد فولیکول‌های پره آنترال در تخدمان‌های کشت شده در حضور غلاظت‌های ۲۰، ۴۰ نانوگرم بر میلی لیتر GDF9B به ترتیب $1/65 \pm 1/69 \pm 1/71$ و $0/32 \pm 0/37 \pm 0/35$ بود که کاهش معنی‌داری نسبت به گروه کشت شده در محیط پایه $1/43 \pm 1/48 \pm 1/23$ نشان داد ($P < 0.05$). میانگین درصد فولیکول‌های آنترال در تخدمان‌های کشت شده در حضور غلاظت‌های ۱۰، ۲۰ و ۴۰ نانوگرم بر میلی لیتر GDF9B به ترتیب $0/37 \pm 0/32 \pm 0/38$ بود که افزایش معنی‌داری نسبت به گروه کشت شده در محیط پایه $0/34 \pm 0/36 \pm 0/34$ نشان داد ($P < 0.05$).

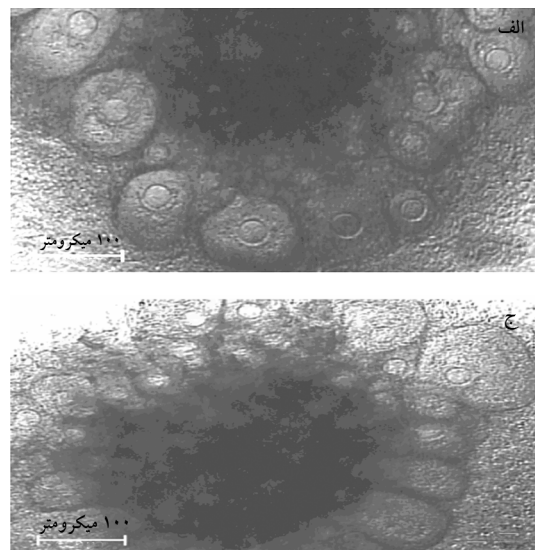
هرچند از نظر درصد فولیکول‌های پره آنترال و آنترال تفاوت معنی‌داری در سه دوز ۱۰، ۲۰ و ۴۰ نانوگرم بر میلی لیتر GDF9B با یکدیگر نشان ندادند اما در غلظت ۱۰ نانوگرم بر میلی لیتر GDF9B نمای کیفی بافت تخدمان نسبت به دو غلاظت دیگر بهتر بود (شکل ۲ ب). میانگین درصد فولیکول‌های آنترال و پره آنترال در تخدمان‌های چهارده روزه کشت شده در محیط پایه نسبت به تخدمان‌های دست نخورده ۲۱ روزه از نظر آماری تفاوت معنی‌داری نداشت.



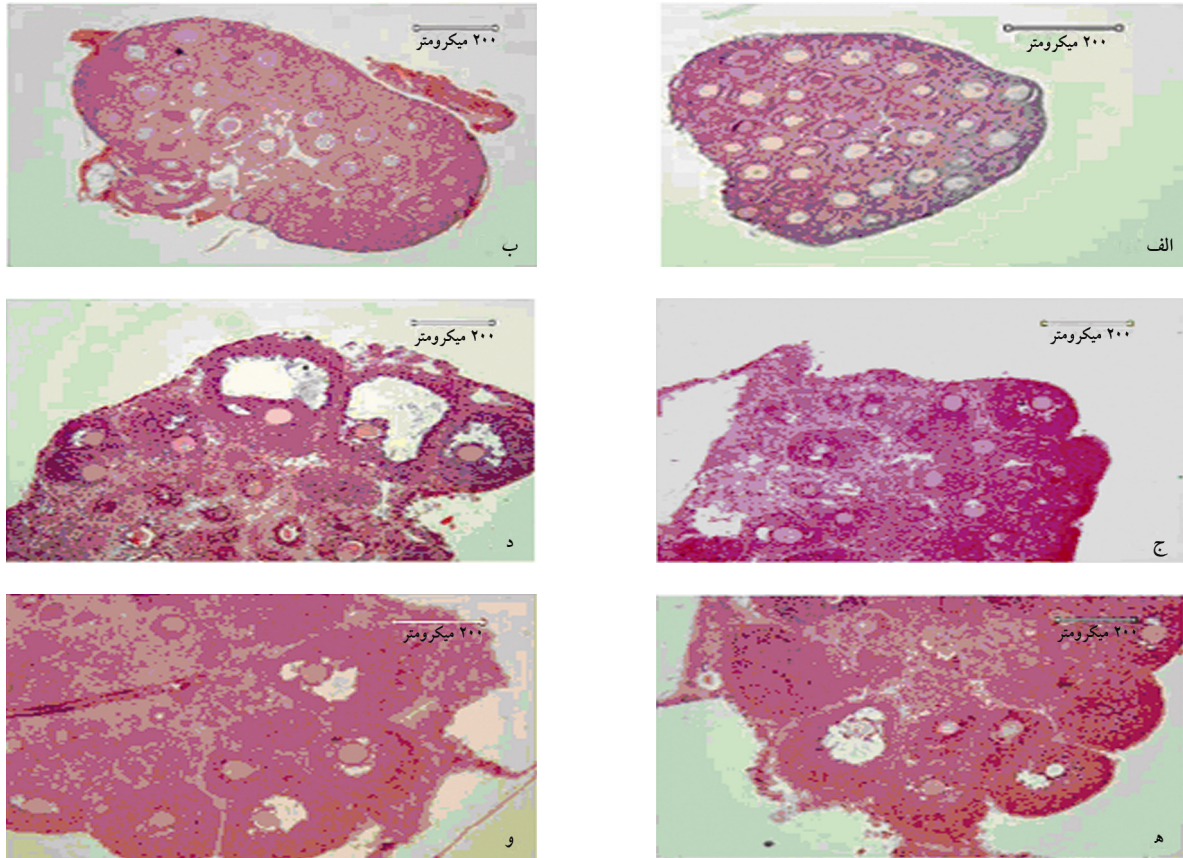
نتایج

تغییرات رشد فولیکول‌ها در تخدمان‌های کشت شده در حضور غلاظت‌های مختلف GDF9B پس از یک هفته کشت در زیر میکروسکوپ معکوس در شکل ۱ نشان داده شده است. فولیکول‌های آنترال در تخدمان‌های چهارده روزه کشت شده در محیط پایه غنی شده با GDF9B نسبت به فولیکول‌های آنترال در گروه چهارده روزه کشت شده در محیط پایه دارای حفره آنتروم بزرگ‌تر بودند و تخمک و سلول‌های کومولوسی تصاویر مربوط به برش‌های بافتی گروه‌های مورد مطالعه در شکل ۲ آمده است و مشاهدات میکروسکوپ معکوس را تأیید می‌کند.

اطلاعات کمی رشد فولیکولی در تخدمان‌های کشت شده و نشده در جدول ۱ آورده شده است. درصد فولیکول‌های بدبوی و اولیه در تخدمان‌های کشت شده در محیط پایه و تخدمان‌های کشت شده در غلاظت‌های ۱۰، ۲۰ و ۴۰ نانوگرم بر میلی لیتر GDF9B از نظر آماری تفاوت معنی‌داری نشان نداد.



شکل ۱ تصاویر میکروسکوپ معکوس از تخدمان‌های کشت شده؛ (الف) گروه چهارده روزه کشت شده در محیط پایه غنی شده با ۱۰ نانوگرم بر میلی لیتر GDF9B، (ج) گروه چهارده روزه کشت شده در محیط پایه، غنی شده با ۲۰ نانوگرم بر میلی لیتر GDF9B؛ همان گونه که در شکل مشخص است تعداد زیادی فولیکول آنترال با حفره مشخص در حاشیه بافت دیده می‌شود.



شکل ۲ ریخت‌شناسی تخدمان‌های کشت شده موش با رنگ آمیزی هماتوکسیلین-ائزین؛ (الف) گروه ۱۴ روزه کترل کشت نشده (ب) گروه ۲۱ روزه کترل کشت نشده (ج) گروه چهارده روزه کشت شده در محیط پایه، (د) گروه چهارده روزه کشت شده در محیط پایه غنی شده با ۱۰ نانوگرم بر میلی‌لیتر GDF9B (ه) گروه چهارده روزه کشت شده در محیط پایه غنی شده با ۲۰ نانوگرم بر میلی‌لیتر GDF9B (و) گروه چهارده روزه کشت شده در محیط پایه غنی شده با ۴۰ نانوگرم بر میلی‌لیتر GDF9B؛ همان گونه که در تصاویر دیده می‌شود در گروه‌های کشت شده در حضور تعداد فولیکول‌های آنترال بیشتر و واضح‌تر است.

جدول ۱ پراکندگی فولیکول‌ها در مراحل مختلف تکوینی در تخدمان‌های کشت شده در حضور غلاظت‌های مختلف GDF9B (Mean \pm SE)

گروه‌ها		۱۴ روزه کشت شده				۱۴ روزه کشت نشده			
GDF9B نانوگرم / میلی‌لیتر	تعداد کل فولیکول	صفرا	تعداد	صفرا	تعداد	صفرا	تعداد		
-	-	۴۰	۲۰	۱۰	۲۵۸	۲۲۳	۲۰۹		
۳۰.۹	۳۸۲	۲۷۶	۲۰۹	۵۰/۱۴ \pm ۰/۴۸	۴۹/۱۹ \pm ۰/۵۹	(Mean \pm SE)			
۵۳/۱۶ \pm ۰/۵۹	۶۳/۱۵ \pm ۰/۴۸*	۵۲/۲۲ \pm ۲/۴۴	۵۰/۲۲ \pm ۰/۶۰	۱۲۸	۱۰۸	تعداد	فولیکول‌های بدبوی		
۱۶۴	۲۳۷	۱۴۴	۱۰۵						
۱۳/۱۶ \pm ۰/۵۹	۸/۱۱ \pm ۰/۵۱*	۱۵/۳۷ \pm ۰/۵۲	۱۳/۸۳ \pm ۰/۳۲	۱۳/۱۹ \pm ۰/۰۷	۱۵/۱۸ \pm ۰/۶۱	(Mean \pm SE)	فولیکول‌های اولیه		
۴۱	۳۱	۴۲	۲۹	۳۵	۳۵	تعداد			
۱۹/۳۱ \pm ۰/۷۸	۳۰/۷۲ \pm ۰/۶۰*	۱۲/۶۰ \pm ۰/۶۵*	۱۲/۳۷ \pm ۰/۳۲*	۱۱/۶۹ \pm ۱/۶۵*	۱۸/۲۳ \pm ۱/۴۳	(Mean \pm SE)	فولیکول‌های پره آنترال		
۵۹	۱۱۵	۳۵	۲۶	۲۸	۴۱	تعداد			
۱۵/۳۷ \pm ۰/۳۵	*	۲۳/۲۱ \pm ۰/۵۸*	۲۴/۲۹ \pm ۰/۵۲*	۲۷/۸۲ \pm ۰/۳۷*	۱۶۳۶ \pm ۰/۳۴	(Mean \pm SE)	فولیکول‌های آنترال		
۴۵	*	۵۵	۴۹	۶۷	۳۸	تعداد			

*: اختلاف معنی‌دار ($P < 0.05$) با گروه کترل کشت

بحث

گونه‌های دیگر بیان mRNA عامل GDF9B دیده نشده است [۱۹]. با این حال آغاز بیان GDF9B در تخمک فولیکول‌هایی که در مرحله انتقال از فاز اولیه به ثانویه هستند مشاهده می‌شود. مشخص شده پروتئین و mRNA مربوط به GDF9B در فولیکول‌های بدبوی در تخدمان‌های به دست آمده از زنان قابل شناسایی است اما برای اثبات اثر GDF9B در فعل سازی فولیکول‌های تخدمانی به مطالعات گسترده‌ای نیاز است [۱۹]. نتایج این تحقیق نشان داد که میانگین درصد فولیکول‌های آنترال و پره آنترال در تخدمان‌های چهارده روزه کشت شده در محیط پایه نسبت به تخدمان‌های دست نخورده ۲۱ روزه از نظر آماری تفاوت معنی‌دار ندارد. این مسئله نشان دهنده این است که تخدمان‌های ۱۴ روزه پس از یک هفته کشت در محیط پایه از نظر تکوینی خود را به تخدمان‌های دست نخورده ۲۱ روزه رسانده‌اند که نشان دهنده شرایط کشت مطلوب بوده است.

نتایج تحقیق حاضر نشان داد که تکوین فولیکول‌ها در حضور سه ۱۰، ۲۰، ۴۰ نانوگرم بر میلی لیتر GDF9B از نظر درصد فولیکول‌های پره آنترال و آنترال تفاوت معنی‌داری با یکدیگر ندارد. گرچه در غلظت ۱۰ نانوگرم بر میلی لیتر اندازه فولیکول‌ها بزرگ‌تر بود شاید این مسئله نشان دهنده کیفیت تفاوت این فولیکول‌ها در مقایسه با بقیه باشد که نیاز به تحقیق بیشتری دارد.

به‌نظر می‌رسد شاید یکی از اصلی‌ترین عوامل در عدم مشاهده تفاوت معنی‌داری در تکوین فولیکول‌ها در این سه GDF9B دوز می‌تواند مربوط به عدم تفاوت در بروز گیرنده در این گروه از فولیکول‌ها باشد که حتی با تغییر در غلظت این عامل پاسخگویی سلول‌ها تفاوتی نکرده است که می‌توان با بررسی بروز گیرنده آن به این فرضیه رسید.

بنابراین نتایج تحقیق حاضر نشان داد GDF9B در رشد و تکوین فولیکول‌های مرحله پره آنترال به آنترال مؤثر بوده و تأثیر قابل توجهی در تکوین فولیکول‌های مرحله بدبوی به اولیه نداشته است.

در این مطالعه براساس نتایج بافت‌شناسی تخدمان‌های GDF9B کشت شده در محیط‌های حاوی غلظت‌های مختلف GDF9B نسبت به گروه کشت شده در محیط پایه افزایش معنی‌داری در درصد فولیکول‌های آنترال و کاهش معنی‌داری در درصد فولیکول‌های پره آنترال نشان دادند. با توجه به این که GDF9B در حالت طبیعی توسط سلول تخمک ترشح می‌شود و با اثر بر گیرنده خود بر سلول‌های گرانولوزا منجر به تکثیر آن‌ها می‌شود انتظار می‌رود که اثر مشابهی در محیط کشت بر تکوین فولیکول‌ها داشته باشد. اگرچه در تحقیق حاضر بر بیان گیرنده GDF9B در فولیکول‌های مراحل مختلف تکوینی مطالعه‌ای صورت نگرفته اما تحقیقات قبلی همگی مؤید این است که این عامل در تخمک فولیکول‌های مراحل اولیه تا آنترال بیان می‌شود و به‌واسطه گیرنده خود بر سلول‌های گرانولوزا بر تکوین فولیکولی تأثیر می‌گذارد [۱۳، ۱۴]. احتمالاً در فولیکول‌های پره آنترال میزان بروز گیرنده این عامل می‌باشد که سبب شده بیشتر از فولیکول‌های بدبوی و اولیه باشد که سبب شده فولیکول‌های مرحله پره آنترال پاسخ قابل توجهی به این عامل نشان دهد. در این زمینه نیاز به مطالعات بیشتری است تا درستی یا نادرستی این فرضیه مشخص شود. در مطالعات قبلی بروز گیرنده مربوط به GDF9B در فولیکول‌های تخدمان گوسفند تا قبل از آغاز رشد فولیکول‌ها غیر قابل تشخیص بوده است و همچنین این گیرنده در تخمک و سلول‌های گرانولوزای فولیکول‌های آنترال خوک قابل شناسایی بوده و طی مرحله پیش از تخمک گذاری بیان آن افزایش نشان داده است [۱۵، ۱۶]. نتایج تحقیق حاضر نشان داد که تکوین فولیکول‌های پره آنترال به فولیکول‌های مرحله آنترال در حضور GDF9B افزایش می‌یابد. در حالی که بعضی تحقیقات به تأثیر GDF9B بر رشد فولیکول‌های مراحل بدبوی و اولیه اشاره دارد [۱۷] و تاکنون در بین همه گونه‌هایی که بررسی شده‌اند mRNA مربوط به *Brushtail Possum* فقط در فولیکول‌های بدبوی گونه GDF9B مشاهده شده است [۱۸] و نیز در فولیکول‌های اولیه بسیاری از

گروه علوم تشریح است که با حمایت مالی دانشکده علوم پزشکی دانشگاه تربیت مدرس انجام شده است.

تشکر و قدردانی

مقاله حاضر بخشی از پایان نامه کارشناسی ارشد است

منابع

- [1] Skinner MK. Regulation of primordial follicle assembly and development. *Hum Reprod Update* 2005; 11(5): 461-71.
- [2] Terada N, Kuroda H, Nakayama H, Matsumoto K, Kitamura Y. Effect of genetically defined oocyte depletion on production of androgens and oestrogens by ovaries of suckling mice. *J Steroid Biochem* 1986; 25(1): 83-9.
- [3] Campbell BK. The endocrine and local control of ovarian follicle development in the ewe. *Anim Reprod* 2009; 6(1): 159-71.
- [4] Vitt UA, Hsueh AJ. Stage-dependent role of growth differentiation factor-9 in ovarian follicle development. *Mol Cell Endocrinol* 2001; 183(1-2): 171-7.
- [5] Moore RK, Erickson GF, Shimasaki S. Are BMP-15 and GDF-9 primary determinants of ovulation quota in mammals? *Trends Endocrinol Metab* 2004; 15(8): 356-61.
- [6] Thomas FH, Ethier JF, Shimasaki S, Vanderhyden BC. Follicle-stimulating hormone regulates oocyte growth by modulation of expression of oocyte and granulosa cell factors. *Endocrinology* 2005; 146(2): 941-9.
- [7] Hussein TS, Thompson JG, Gilchrist RB. Oocyte-secreted factors enhance oocyte developmental competence. *Dev Biol* 2006; 296(2): 514-21.
- [8] Mery L, Lefevre A, Benchaib M, Demirci B, Salle B, Guerin JF, Lornage J. Follicular growth in vitro: detection of growth differentiation factor 9 (GDF9) and bone morphogenetic protein 15 (BMP15) during in vitro culture of ovine cortical slices. *Mol Reprod Dev* 2007; 74(6): 767-74.
- [9] Kedem A, Fisch B, Garor R, Ben-Zaken A, Gizunterman T, Felz C, Ben-Haroush A, Kravarusic D, Abir R. Growth differentiating factor 9 (GDF9) and bone morphogenetic protein 15 both activate development of human primordial follicles in vitro, with seemingly more beneficial effects of GDF9. *J Clin Endocrinol Metab* 2011; 96(8): E1246-54.
- [10] Lima IM, Brito IR, Rossetto R, Duarte AB, Rodrigues GQ, Saraiva MV, Costa JJ, Donato MA, Peixoto CA, Silva JR, de Figueiredo JR, Rodrigues AP. BMPRIB and BMPRII mRNA expression levels in goat ovarian follicles and the in vitro effects of BMP-15 on preantral follicle development. *Cell Tissue Res* 2012; 348(1): 225-38.
- [11] Fenwick MA, Mora JM, Mansour YT, Baithun C, Franks S, Hardy K. Investigations of TGF- β signaling in preantral follicles of female mice reveal differential roles for bone morphogenetic protein 15. *Endocrinology* 2013; 154(9): 3423-36.
- [12] Pramod RK, Sharma SK, Singhi A, Pan S, Mitra A. Differential ovarian morphometry and

9B تکوین فولیکولی و عامل رشدی تمایزی

- follicular expression of BMP15, GDF9 and BMPR1B influence the prolificacy in goat. Reprod Domest Anim 2013; 48(5): 803-9.
- [13] Otsuka F, Moore RK, Iemura S, Ueno N, Shimasaki S. Follistatin inhibits the function of the oocyte-derived factor BMP-15. Biochem Biophys Res Commun 2001; 289(5): 961-6.
- [14] Margulis S, Abir R, Felz C, Nitke S, Krissi H, Fisch B. Bone morphogenetic protein 15 expression in human ovaries from fetuses, girls, and women. Fertil Steril 2009; 92(5): 1666-73.
- [15] Sutton-McDowall ML, Mottershead DG, Gardner DK, Gilchrist RB, Thompson JG. Metabolic differences in bovine cumulus-oocyte complexes matured in vitro in the presence or absence of follicle-stimulating hormone and bone morphogenetic protein 15. Biol Reprod 2012; 87(4): 87.
- [16] Paradis F, Novak S, Murdoch GK, Dyck MK, Dixon WT, Foxcroft GR. Temporal regulation of BMP2, BMP6, BMP15, GDF9, BMPR1A, BMPR1B, BMPR2 and TGFBR1 mRNA expression in the oocyte, granulosa and theca cells of developing preovulatory follicles in the pig. Reproduction 2009; 138(1): 115-29.
- [17] Wang J, Roy SK. Growth differentiation factor-9 and stem cell factor promote primordial follicle formation in the hamster: modulation by follicle-stimulating hormone. Biol Reprod 2004; 70(3): 577-85.
- [18] Eckery DC, Whale LJ, Lawrence SB, Wylde KA, McNatty KP, Juengel JL. Expression of mRNA encoding growth differentiation factor 9 and bone morphogenetic protein 15 during follicular formation and growth in a marsupial, the brushtail possum (*Trichosurus vulpecula*). Mol Cell Endocrinol 2002; 192(1-2): 115-26.
- [19] Fortune JE. The early stages of follicular development: activation of primordial follicles and growth of preantral follicles. Anim Reprod Sci 2003; 78(3-4): 135-63.
- [20] Passos MJ, Vasconcelos GL, Silva AW, Brito IR, Saraiva MV, Magalhães DM, Costa JJ, Donato MA, Ribeiro RP, Cunha EV, Peixoto CA, Campello CC, Figueiredo JR, van den Hurk R, Silva JR. Accelerated growth of bovine preantral follicles in vitro after stimulation with both FSH and BMP-15 is accompanied by ultrastructural changes and increased atresia. Theriogenology 2013; 79(9): 1269-77.